

## ケーブルの緩みを考慮した非線形振動解析

長崎大学大学院 学生会員 井上 靖 長崎大学工学部 フェロ - 高橋和雄  
 長崎大学大学院 学生会員 Wu Qing Xiong 長崎大学工学部 正会員 中村聖三

### 1. まえがき

ケーブルは軸引張力のみ抵抗する部材であるが、これまでのケーブル非線形振動解析では、このケーブルの非抗圧縮性の影響を無視した解析がなされている。著者らは、世界で初め非抗圧縮性の影響を表現できるモデルを開発して、ケーブルの非抗圧縮性の影響を評価しつつある<sup>1)</sup>。本研究では、ケーブルが支点移動を受ける場合（軸方向変動軸力<sup>2)</sup>）について、ケーブルの非抗圧縮性の影響を評価する。

### 2. ケーブルの運動方程式および解法

図-1 に示すように、一端固定、他端に任意の支点変位  $X(t)$  を受ける長さに沿って等分布質量を有するサグ比  $f/l$  が  $1/8$  以下の偏平ケーブルを解析の対象とする。左支点が水

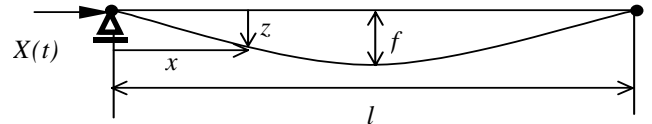


図-1 ケーブルの一般図

平方方向支点変位を受けるケーブルの応答  $u_c(x,t)$  および  $w_c(x,t)$  を次式のように仮定する。

$$u_c(x,t) = \left(1 - \frac{x}{L}\right)X(t) + u(x,t), \quad w_c(x,t) = w(x,t)$$

曲げと減衰の項を考慮すると、さらに無次元化したケーブルの運動方程式は次のようになる<sup>1)</sup>。

$$\frac{\partial^2 \bar{w}}{\partial \tau^2} + 2h\omega_1 \frac{\partial \bar{w}}{\partial \tau} + \frac{k^2 \delta}{\pi^2} \frac{\partial^4 \bar{w}}{\partial x^4} - \left(1 + \frac{\Delta H}{H}\right) \frac{1}{\pi^2} \frac{\partial^2 \bar{w}}{\partial x^2} + \left(1 + \frac{\Delta H}{H}\right) \frac{8\gamma}{\pi^2} = \frac{8\gamma}{\pi^2} (\bar{p}(x,\tau) + 1) \quad (1)$$

$$\frac{\Delta H}{H} = \frac{k^2}{1+8\gamma^2} (-\bar{X}(\tau)) + \frac{k^2}{1+8\gamma^2} \left\{ \frac{1}{2} \int_0^l \left(\frac{\partial \bar{w}}{\partial x}\right)^2 d\bar{x} + 8\gamma \int_0^l \bar{w} d\bar{x} \right\} \text{ あるいは } \frac{\Delta H}{H} = h_p + \bar{h} \quad (2)$$

ここに、 $h_p = \frac{k^2}{1+8\gamma^2} (-\bar{X}(\tau))$  : 支点変位による変動軸力、 $\bar{h} = \frac{k^2}{1+8\gamma^2} \left\{ \frac{1}{2} \int_0^l \left(\frac{\partial \bar{w}}{\partial x}\right)^2 d\bar{x} + 8\gamma \int_0^l \bar{w} d\bar{x} \right\}$  : 付加軸力である。

また、 $\bar{x} = x/l$ ,  $\gamma = f/l$  : サグ比,  $k = \sqrt{EA/H}$  : 縦波-横波伝播速度比,  $h$  : 減衰定数,  $\delta = EI/L^2 \cdot 1/EA$  : 曲げ一伸び剛性比,  $\bar{w} = w/l$  : 無次元変位,  $H$  : 初期水平張力,  $w$  :  $z$  方向のたわみ,  $\tau = \omega_1 t$  : 無次元時間,  $\omega_1$  : 弦の1次固有円振動数,  $\bar{X}(\tau) = X(t)/l$ 。

ケーブルの非抗圧縮性を考慮する場合は、全水平張力  $(1 + \Delta H/H)$  が 0 より小さくなった場合を 0 とする。

数値解法として、陽な差分法を用いる。要素分割数は 100 とし、時間間隔は  $2.5 \times 10^{-5}$  とする。数値安定のため、 $\delta = 10^{-7}$  および  $h=0.001$  を用いる。支点移動の特性を調べるため、荷重変位  $\bar{p}(x,\tau)=0$  とする。支点変位は周期的変動変位とすれば、次式のように表される。

$$h_p = \bar{h}_p \sin \bar{\Omega} \tau, \text{ つまり } (-\bar{X}(\tau)) = \bar{X}_0 \sin \bar{\Omega} \tau = \frac{1+8\gamma^2}{k^2} \bar{h}_p \sin \bar{\Omega} \tau. \text{ ここに } \bar{\Omega} = \Omega/\omega_1, \Omega \text{ は支点変位の円振動数であり,}$$

ケーブルの線形対称 1 次円振動数と一致させる。

### 3. 解析の精度

差分法の精度を確認するために、ケーブルに圧縮力が入らない範囲において、差分法と Galerkin 法による時刻歴応答を図-2 に示す。両者が一致していることから、精度は十分であると確認できる。

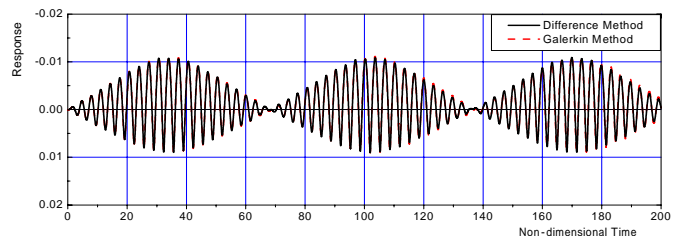


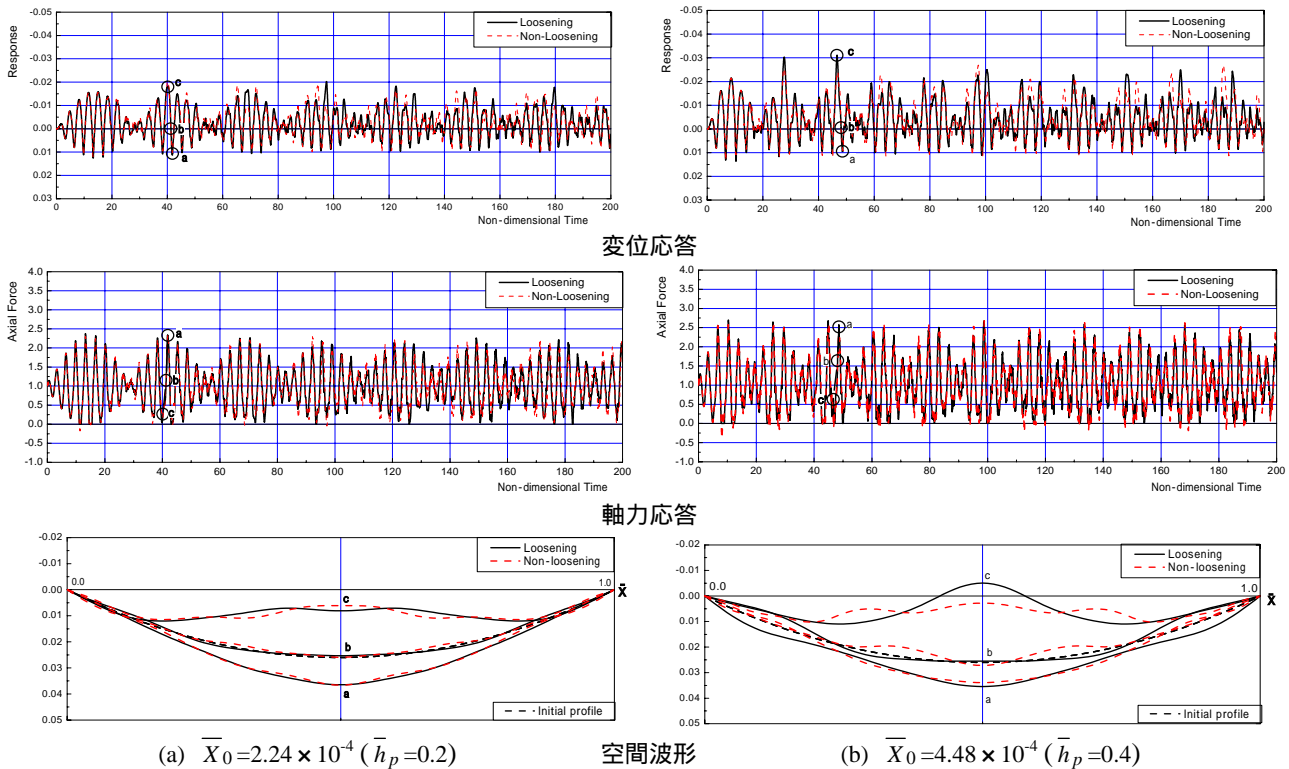
図-2 中央点の変位の時刻歴応答  
 ( $\gamma=0.026, k=30, \bar{X}_0=5.6 \times 10^{-5} (\bar{h}_p=0.05)$ )

### 4. 解析結果

(1) 非抗圧縮性の影響 支点変位  $\bar{X}_0=2.24 \times 10^{-4}$  (支点変位による変動軸力  $\bar{h}_p=0.2$ ) および  $\bar{X}_0=4.48 \times 10^{-4}$  ( $\bar{h}_p=0.4$ ) が作用する場合、ケーブル ( $\gamma=0.026$  および  $k=30$ ) の応答および空間波形を図-3 に示す。全水平

キーワード：ケーブル、非線形振動、緩み

連絡先：〒852-8521 長崎市文教町 1-14 長崎大学工学部 社会開発工学科 Tel. 095-847-1111(内線 2710) Fax 095-848-3624



(a)  $\bar{X}_0 = 2.24 \times 10^{-4}$  ( $\bar{h}_p = 0.2$ )      (b)  $\bar{X}_0 = 4.48 \times 10^{-4}$  ( $\bar{h}_p = 0.4$ )

図-3 非抗圧縮性の影響 ( $\gamma = 0.026$ ,  $k=30$ )

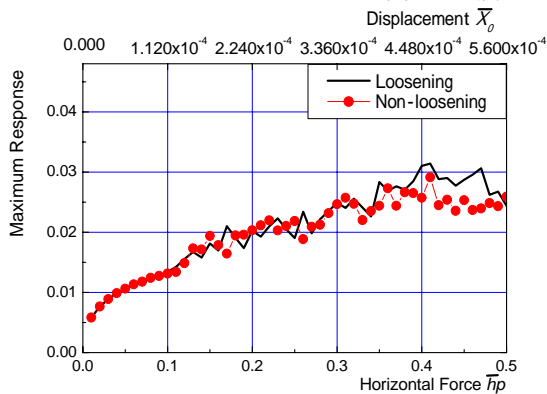


図-4 最大変位 ( $\gamma = 0.026$ ,  $k=30$ )

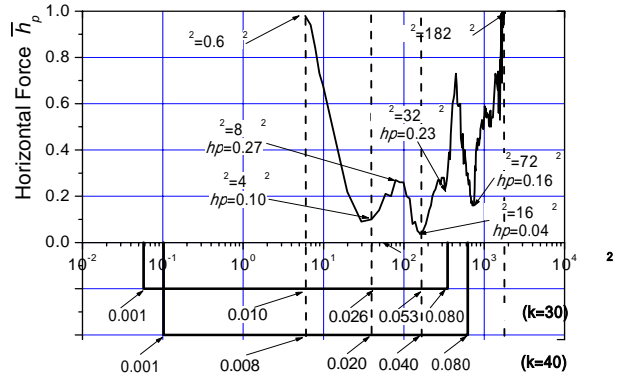


図-5 圧縮力が出現する支点変位による変動軸力

張力応答から明らかなように、ケーブルに圧縮力が入る領域が存在するが、支点変位  $X$  (変動軸力  $h_p$ ) が増加しても、その発生領域は増加しない。この理由は、空間波形から明らかなように、ケーブルの圧縮力側の空間波形は高次モード成分が卓越した曲線となっている。つまり、ケーブルに圧縮力が入りにくい空間波形となっている。支点変位による変動軸力をパラメーターとして、非抗圧縮性を考慮した場合とこれを無視する場合のケーブル中央点の最大変位を図-4 に示す。図のように、最大応答に及ぼす非抗圧縮性の影響は小さい。

(2) 圧縮力が出現する支点変位による変動軸力 圧縮力が出現する変動軸力の振幅  $\bar{h}_p$  とサグ比  $\bar{h}$  の関係を図-5 に示す。最小値は  $k=30$  の場合にサグ比 0.026 および 0.053 付近、 $k=40$  の場合にはサグ比 0.020 および 0.040 付近で現れる。周期的変動鉛直荷重の場合と同様に、ケーブルの振動モードが対称 1 次から対称 2 次、対称 2 次から対称 3 次に遷移中のサグ比で圧縮軸力が発生しやすい。

5. まとめ

(1) ケーブルの最大応答に及ぼす非抗圧縮性の影響は小さい。(2) ケーブルの振動モードが遷移中のサグ比で圧縮軸力が出現しやすい。

参考文献

- 1) 井上, 高橋, 中村, Wu: ケーブルの緩みを考慮した非線形振動解析, 土木学会第 56 回年次学術講演会講演概要集, I-A069, pp.138-139, 2001.
- 2) 高橋, 鎌田, 花田: 係数励振振力と周期的変動荷重を受ける偏平ケーブルの非線形振動, 土木学会論文集, No.549/ -37, pp.115-124, 1996.